

# $\text{Al}^{27}$ NMR 공명선에 관한 연구

강 정 우

A Study on the  $\text{Al}^{27}$  NMR Lineshape.

Khang Jeong-woo

## Summary

The  $\text{Al}^{27}$  NMR lineshapes of  $\text{AlCl}_3$ ,  $\text{Al(OH)}_3$ , and  $\text{Al(H}_2\text{PO}_4)_3$ , crystalline compounds which consist of six coordinated aluminum atoms investigated.

For central transition the resonance line-width is about 10 up to 15 kHz. The value of  $e^2 Q/h$  for three crystalline compounds are 450 kHz, 710 kHz and 936 kHz, respectively (at  $\eta = 0$ ).

The quadrupole coupling constant for  $\text{Al}^{27}$  in  $\alpha\text{-Al}_2\text{O}_3$  (corundum) is 2.37 MHz (at  $\eta = 0.1$ ).

## 序 論

NMR(핵 자기 공명; Nuclear Magnetic Resonance) Spectroscopy는 1946년에 Harvard 대학교의 Purcell group과 Stanford 대학교의 Bloch group에 의해 독자적으로 연구가 시작된 이래 금속·비금속 및 화학분야에서 물질의 내부구조를 규명하는데 널리 이용되고 있는 실험 방법이다.

분자를 구성하는 원자핵이 전기 사중극 모멘트(electric quadrupole moment)를 가질 때, NMR 방법에 의해 핵 사중극 결합상수(nuclear quadrupole coupling constant)와 전기장의 기울기(electric field gradient)의 비대칭 인자(asymmetry parameter)를 정확하게 구

하므로서 물질의 원자결합 상태를 알 수 있다.

단결정(single crystal)의 경우에는 외부 자장을 일정하게 고정하였을 경우 결정축과 자기장의 방향에 따라 NMR 공명선의 위치를 진동수 단위로 결정함으로서 핵 사중극 결합상수와 비대칭 인자를 구할 수 있지만, 단결정보다 다결정(precrystalline compound)의 분말 형태로 시료를 마련하기가 쉬워서 분말결정을 다루는 예가 많고 이때 시료내에 있는 결정축 방향분포가 고른 불규칙성을 갖기 때문에 이른바 Powder Pattern이라고 부르는 NMR 흡수곡선을 얻게 된다.

최근에는 이와 같은 NMR 기술을 이용하여 결정과 유리의 내부 구조를 규명하려는 연구가 활발하게 진척되고 있다.(Babcock, 1977; Bray, 1970).

Siver와 Bray가 NMR Spectroscopy를 봉소 산화물 유리의 내부구조 연구에 이용한 이후, 2성분 산화물 유리계에 대한 NMR 연구가 여러 가지 금속 산화물에 대하여 보고 되었다. 2성분 산화물 유리계에 다른 하나의 성분을 첨가하여 3성분계의 유리를 만들면 첨가된 성분의 성질에 따라 유리의 특성도 다양하게 변화되리라고 예측 할 수 있어, 사용목적에 부합되는 보다 다양한 유리를 제조할 수 있다. 2성분계 봉소 산화물 유리에  $\text{Al}_2\text{O}_3$  성분을 첨가하여 3성분계 유리가 만들어졌을 때, 유리내의 알루미늄원자가 산소원자와 어떤 상태로 결합하고 있는가를 안다는 것은 유리계의 구조를 규명하는데 중요한 정보가 된다.

고체내의 알루미늄원자는 4면체형 4배위 혹은 8면체형 6배위의 구조를 갖고 있다. X-선 회절방법을 이용하여 규명한 바에 의하면, 봉소원자와 알루미늄원자를 포함하는 유리계에서 알루미늄원자는  $\text{AlO}_4$ 로만 되어 있으나 유리중의  $\text{B}_2\text{O}_3$  함유량이 많아질수록 알루미늄원자의 배위수가 증가한다고 알려져 있다. 그러나  $\text{Al}^{27}\text{NMR}$  방법을 이용하여 봉소원자와 알루미늄원자를 함유하는 유리계의 Al-O의 결합상태를 조사한 일은 없다.

$\text{B}_2\text{O}_3$ 와  $\text{Al}_2\text{O}_3$ 을 함유한 3성분계 유리에서 봉소원자의 배위수는  $\text{B}_2\text{O}_3$ 의 산소원자만이  $\text{BO}_3$ 를  $\text{BO}_4$ 로 만들고 있는 것이 아니라  $\text{Al}_2\text{O}_3$ 의 산소원자도  $\text{BO}_3$ 를  $\text{BO}_4$ 로 만들고 있고, 같은 유리계의 다른 성분비율을 갖는 유리에서는  $\text{BO}_3$ 의 산소원자중 일부는  $\text{BO}_3$ 를  $\text{BO}_4$ 로 나머지 일부는 알루미늄원자의 배위수를 6에서 4로 만들고 있다는 사실이  $\text{B}^{11}\text{NMR}$  연구에서 밝혀진 바 있다.(Song, et al, 1980; Khang, et al, 1981) 그러나 보다 정확한 3성분계 유리의 내부구조를 규명하기 위해서는 유리의  $\text{Al}^{27}\text{NMR}$  공명선을 얻어 Al-O간의 결합상태를 조사하여  $\text{B}^{11}\text{NMR}$

연구에서 얻은 결과와 비교해 보아야만 한다.

알루미늄원자와 주위원자간의 결합상태가 알려져 있는 고체물질들의  $\text{Al}^{27}\text{NMR}$  공명선에 대한 정보는 알려진 바 없다. 이와 같은 고체물질의  $\text{Al}^{27}\text{NMR}$  정보를 안다면 다결정이나 유리질의 Al-O 간의 결합상태를 조사하는데 유용하게 이용될 수 있다. 그러므로 알루미늄원자가 주위원자들과 4배위 혹은 6배위 결합을 하고 있는 다결정 화합물인  $\text{AlCl}_3$ ,  $\text{Al}(\text{OH})_3$  및  $\text{Al}(\text{H}_2\text{PO}_4)_3$  와  $\alpha\text{-Al}_2\text{O}_3$ (corundum)의  $\text{Al}^{27}\text{NMR}$  공명선을 얻어 Al이 주위원자와 4배위 혹은 6배위로 결합하고 있는 물질의  $\text{Al}^{27}\text{NMR}$  lineshape에 대한 자료를 제공하고, 이들 자료를 이미 알려진 3성분계 유리(Bishop, 1965)의  $\text{Al}^{27}\text{NMR}$  공명선과 비교해 보려고 한다.

## 材 料 및 方 法

본 실험에 사용한 NMR 공명선 측정장치는 double coil nuclear induction 형인 Varian associates model WL-112 wide line NMR spectrometer로 15,000 gauss의 자기장을 낼 수 있는 전자석과 Power Supply, Recorder, Probe 및 냉각장치등으로 구성되어 있다.

시료는 전자석의 경자장내에 있는 crossed coil probe의 receiver coil내에 집어넣고 실험을 하도록 되어 있으며, 진동하는 자기장은 경자장의 주어진 값에 대해서 측정하려는 핵의 Larmor frequency에 맞춰진 R.F.transmitter에 의해서 Probe의 transmitter coil에 생긴다. 전자석의 자장이 천천히 변화하면서 이 주어진 값을 스쳐 지나갈 때 신호전압은 자속의 modulation이 transmitter coil과 receiver coil을 연결한 것처럼 Probe의 receiver

coil에 유도된다. 이 변조된 R.F.신호는 transmitter frequency로 맞춰진 R.F. 증폭 검지기에 의해서 증폭되고 재변조된다. 검지된 신호는 오실로스코프에서 볼 수 있거나 그라프 기록계에 그려 지도록 Phase-sensitive detector에 전달된다.

이렇게 하여 얻어진 NMR공명선은 진동수를 고정시키고 자기장을 일정한 간격내에서 서서히 변화시켜서 얻어졌다. 그러나 편의상 NMR측정값들을 진동수 단위로 계산하였다.

사용된 화학시료는 독일의 Merck Chemical Co.에서 제조된 AlCl<sub>3</sub> 와 Al(OH)<sub>3</sub> 그리고 Al(H<sub>2</sub>PO<sub>4</sub>)<sub>3</sub>는 일본의 Nakarai chemical L.T.D.에서 제조된 것을,  $\alpha$ -Al<sub>2</sub>O<sub>3</sub>는 Wako Pure Chemical Industries L.T.D.에서 제조된 것을 사용하였다. 이들 시료는 비닐튜브에 넣어서 밀봉한 다음에 probe의 receiver coil내에 집어 넣고 공명 진동수를 변화시키면서 Al<sup>27</sup> NMR 공명선을 얻었다.

## 결과 및考察

Al<sup>27</sup> 원자핵 (스핀 =  $\frac{5}{2}$ )은 B<sup>11</sup>원자핵보다 4배나 더 큰 전기 사중극 모멘트를 갖고 있으며, 핵측에 존재하는 전기장의 기울기와 강력한 상호작용을 예상할 수 있다. B<sup>11</sup> spectra에 의한 사중극 효과는 4배위 봉소원자의 공명선으로부터 3배위 봉소원자의 공명선을 구별할 수 있는데, 이와 같은 구별은 4배위와 6배위 알루미늄원자들로부터 생기는 공명선에서도 할 수 있다.

알루미늄원자가 주위 원자들과 6배위로 결합하고 있는 AlCl<sub>3</sub> (aluminum chloride), Al(OH)<sub>3</sub> (aluminum hydroxide) 및 Al(H<sub>2</sub>PO<sub>4</sub>)<sub>3</sub> (aluminum phosphate) 다결정들의

Al<sup>27</sup>NMR 공명 흡수곡선을 공명 진동수  $\nu_0 = 15\text{MHz}, 13\text{MHz}, 10\text{MHz}, 7\text{MHz}, 4\text{MHz}$ 에서 얻었다. 그림 1은  $\nu_0 = 13\text{MHz}$ 에서의 Al<sup>27</sup> NMR 공명선을 보여주고 있다. 본 실험에

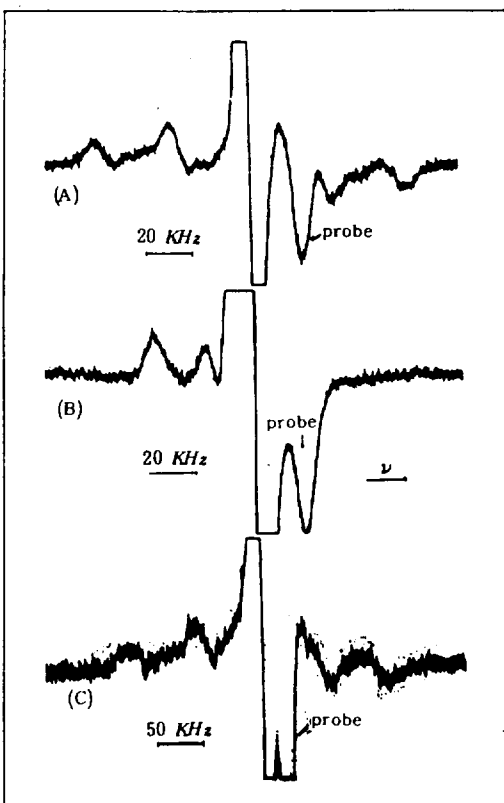


Fig 1. Al<sup>27</sup> NMR lineshapes obtained at  $\nu_0 = 13\text{MHz}$  from the crystalline compounds of (a) AlCl<sub>3</sub>, (b) Al(OH)<sub>3</sub> and (c) Al(H<sub>2</sub>PO<sub>4</sub>)<sub>3</sub>.

사용한 Varian associates model WL-112 wide line NMR spectrometer의 probe가 알루미늄 금속으로 제조되었기 때문에 Al<sup>27</sup>NMR 공명선은 시료의 Al<sup>27</sup> 공명선과 알루미늄 probe의 공명선이 중첩되어 얻어진다. 그림에서 probe란 표기는 알루미늄 probe의 공명선을 나타내고 있다. 그리고 공명 진동수가 낮아질수록 알루미늄 probe의 공명선은  $\nu_0$ 위치로 이동하여 시료의 Al<sup>27</sup> 공명선과 겹쳐서 관측되었다.

$\text{AlCl}_3$  다결정은 육방정계(hexagonal system)로 8면체형의 6배위로 Al이 Cl과 결합하고 있다.  $\text{Al}^{27}\text{NMR}$ 선은 그림 1 - A에서 보는 바와 같이  $m = -\frac{5}{2} \leftrightarrow m = -\frac{3}{2}$ ,  $m = -\frac{3}{2} \leftrightarrow m = -\frac{1}{2}$ ,  $m = -\frac{1}{2} \leftrightarrow m = \frac{1}{2}$ ,  $m = \frac{1}{2} \leftrightarrow m = \frac{3}{2}$ ,  $m = \frac{3}{2} \leftrightarrow m = \frac{5}{2}$  천이에 대응하는 5개의 공명선이 관측되었다.  $\nu_0$ 를 변화시켜서 얻은  $\text{AlCl}_3$ 의  $\text{Al}^{27}\text{NMR}$ 선은 위성천이(satellite transition)에 대응하는 공명선의 위치가  $\nu_0$  위치로부터 이동하지 않고 일정하였다. 이것은 전기 사중극 효과(quadrupole effect)의 1차 섭동을 의미한다. 그리고 중앙천이(central transition;  $m = \frac{1}{2} \leftrightarrow m = -\frac{1}{2}$ )에 대응하는  $\text{Al}^{27}\text{NMR}$ 선의 선폭(linewidth)은 공명 진동수의 함수로서 그림 2에서 보는 바와 같이  $\nu_0$ 가 변화함에도 불구하고 일정한 선폭을 갖고 있었다. 이것은 중심 공

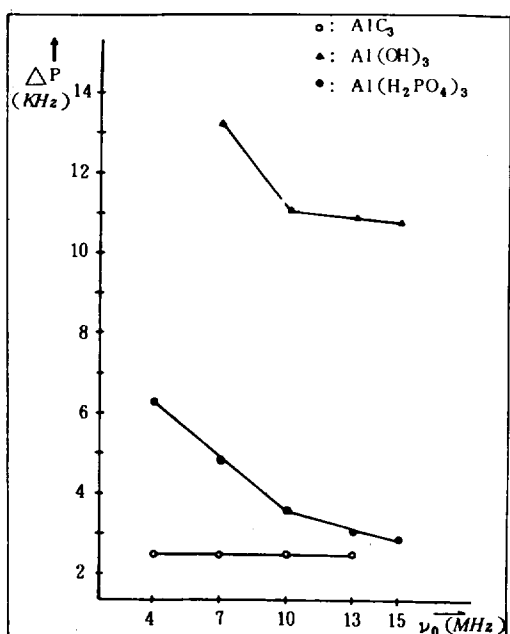


Fig. 2. The linewidths ( $\Delta P$ ) of the  $\text{Al}^{27}$  NMR lines due to the central transition against the resonance frequency.

명선의 원인이 되는 중앙천이가 전기 사중극 효과의 1차 섭동에 기인한다고 볼 수 있다.

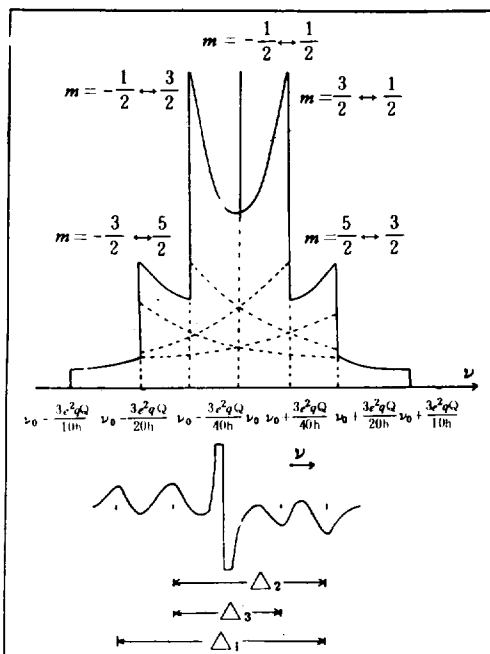


Fig. 3. Powder patterns for the satellite transition in the presence of a first order nuclear quadrupole interaction (at  $I = 5/2$  and  $\eta = 0$ ).

그림 3은 핵주위의 전하분포가 대칭으로부터 벗어난 정도를 나타내는 매개변수  $\eta$ (electric field gradiant asymmetry parameter) = 0이고 전기 사중극 효과의 1차 섭동인 경우에 powder pattern을 나타낸 그림이다. 그림에서 보는 바와 같이  $\Delta_1$ ,  $\Delta_2$ ,  $\Delta_3$ 를 진동수 단위로 측정하여 다음 (1)식을 사용하면 핵전기 사중극 상호작용의 크기를 나타내는  $e^2qQ/h$ (핵 사중극 결합상수; nuclear quadrupole coupling constant)을 구할 수 있다.

$$\Delta_1 = \frac{6e^2qQ}{20h}$$

$$\Delta_2 = \frac{9e^2qQ}{40h} \quad (1)$$

$$\Delta_3 = \frac{6e^2qQ}{40h}$$

이와 같이 하여 AlCl<sub>3</sub>다결정의 비대칭 인자  $\eta = 0$ ,  $e^2qQ/h = 450 \text{ kHz}$ 를 얻었다.  $\eta = 0$ 이라는 것은 알루미늄원자핵 부근의 전하 분포가 축대칭임을 의미한다.

Al(OH)<sub>3</sub>다결정의 Al<sup>27</sup> NMR 흡수곡선에서  $m = -\frac{5}{2} \leftrightarrow m = -\frac{3}{2}$ ,  $m = -\frac{3}{2} \leftrightarrow m = -\frac{1}{2}$ ,  $m = -\frac{1}{2} \leftrightarrow m = \frac{1}{2}$  천이에 대응하는 공명선은 공명 진동수의 변화에도 불구하고 관측되었으나  $m = \frac{3}{2} \leftrightarrow m = \frac{5}{2}$  천이에 대응하는 공명선은 전혀 관측되지 않았다. 그러나  $m = \frac{1}{2} \leftrightarrow m = \frac{3}{2}$  천이에 대응하는 공명선은 10 MHz 이하의 공명 진동수에서 관측되었다. 공명 진동수가 낮아질수록 알루미늄 probe의 공명선은  $\nu_0$  위치에 가까워지고 시료의 Al<sup>27</sup> 공명선은  $\nu_0$  위치에서 멀어졌다. 그래서 낮은 공명 진동수에서 알루미늄 probe의 공명선과  $m = \frac{1}{2} \leftrightarrow m = \frac{3}{2}$  천이에 대응하는 공명선을 확실하게 구별할 수 있었다. 그림 1-B는  $\nu_0 = 13 \text{ MHz}$ 에서 얻은 Al(OH)<sub>3</sub>다결정의 Al<sup>27</sup> NMR 흡수곡선이다.

그림 2에서 보는 바와 같이 Al(OH)<sub>3</sub> 다결정의 중앙천이 ( $m = -\frac{1}{2} \leftrightarrow m = \frac{1}{2}$  transition)에 대응하는 공명선의 선폭은  $\nu_0$ 가 증가함에 따라 감소하다가 일정하게 됨을 알 수 있다. 이것은 중앙천이가 전기 사중극 효과의 2차 섭동에 기인한 것이다.

전기 사중극 효과의 2차 섭동에 의한 실험 공명선들과 공명선 모양이 비슷한 이론적인 곡선 (Baughter, et al, 1965)을 찾아서 그림 4에서 보는 바와 같이  $\Delta_1$ ,  $\Delta_2$ ,  $\Delta_3$ 을 진동수 단위로 측정하여 아래에 (2)식(Park, 1970)을 사용하면

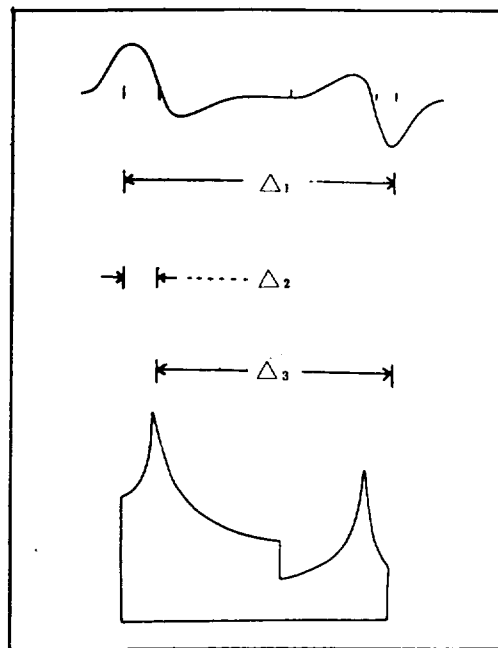


Fig 4. Graphic illustration of  $\Delta_1$ ,  $\Delta_2$  and  $\Delta_3$  to be measured in experimental spectrum for the value of  $\eta$  less than 1/3.

$e^2qQ/h$  와  $\eta$ 를 구할 수 있다.

$$\begin{aligned} \Delta_1 &= \frac{A}{6}(\eta^2 + 22\eta + 25) \\ \Delta_2 &= \frac{A}{6}(\eta^2 - 10\eta + 25) \\ \Delta_3 &= \frac{16}{6} A\eta \\ A &= \frac{\nu Q^2}{24\nu_0} [I(I+1) - \frac{3}{4}] \\ &= [\frac{3e^2qQ}{2I(2I-1)h}]^2 \cdot \frac{(I(I+1)-\frac{3}{4})}{24\nu_0} \end{aligned} \quad (2)$$

$$I = \frac{5}{2} \text{ 일 } \text{ 알루미늄의 경우는 } A = \frac{3}{400} \frac{(e^2qQ)^2}{\nu_0 h}$$

알루미늄원자에 OH단위가 6개 배위하며 8면체의 한 모서리를 공유한 층상구조를 이루고 있는 Al(OH)<sub>3</sub>다결정의  $\frac{e^2qQ}{h} = 710 \text{ kHz}$  ( $\eta = 0$ 으로 가정하였을 때)를 (2)식을 이용하여 얻었다.

$\text{Al}(\text{H}_2\text{PO}_4)_3$  다결정의 경우는 그림 1 - C에서 보는 바와 같이 각 천이에 대응하는 5개의 공명선이 관측되었다. 공명 진동수를 변화시켜서 얻은  $\text{Al}^{27}$  NMR 공명선에서 각 천이에 대응하는 공명선은  $\nu_0$  위치로부터 이동이 없었다. 그러나 중앙천이에 대응하는 공명선의 선폭은 그림 2에서 보는 바와 같이 공명 진동수가 증가하는데 따라 감소하고 있다. 이것은 중앙천이에서 전기 사중극 상호작용에 의한 broadening임을 알 수 있다. 1차 섭동 전기 사중극 효과에 의한, 위성천이에 대응하는 공명선으로부터 (1)식을 사용하여  $\eta = 0$ ,  $e^2qQ/h = 936 \text{ kHz}$  를 얻었다. 이 상의 결과에서  $\text{Al}(\text{H}_2\text{PO}_4)_3$  다결정은 알루미늄원자핵 부근의 전자분포가 축대칭임을 알 수 있고  $\text{H}_2\text{PO}_4$  단위의 산소원자와 6배위로 알루미늄원자가 결합하고 있다고 보여진다.

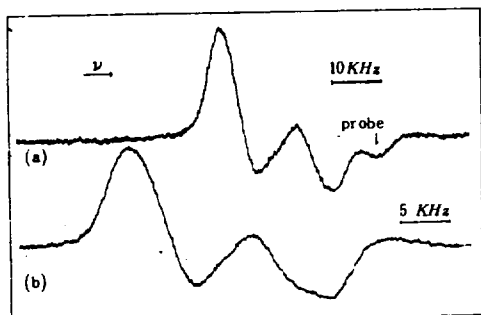


Fig 5. The  $\text{Al}^{27}$  NMR absorption spectrum for the  $\alpha\text{-Al}_2\text{O}_3$  crystalline compound obtained at the spectrometer frequency (a)  $\nu_0 = 10$  MHz (b)  $\nu_0 = 12$  MHz, respectively.

그림 5는 유리와 다결정을 제조하는데 사용되는  $\alpha\text{-Al}_2\text{O}_3$ (corundum) 다결정의  $\text{Al}^{27}$  분산 공명선 ( $\text{Al}^{27}$  NMR dispersion spectrum)이다. 그림에서 보는 바와 같이 공명 진동수가 증가하는데 따라 공명선폭이 감소하고 있다. 이것은 중앙천이의 2차 전기 사중극 효과에 의한 broadening임을 알 수 있다. 중앙천이의 전기

사중극 효과의 2차 섭동에서 (2)식을 이용하여  $\alpha\text{-Al}_2\text{O}_3$  다결정의 비대칭 인자와 핵 사중극 결합상수는 각각  $\eta = 0.1$  과  $e^2qQ/h = 2.37 \text{ MHz}$  를 얻었다. 중앙천이는 2차 전기 사중극 효과의 asymmetric shape 특성에 의해 넓어졌고 위성천이에 의해 넓어진 공명선폭은 관측치 못하였다.

본 실험에서 취급한 6배위 알루미늄원자의 핵 사중극 결합상수 ( $e^2qQ/h$ )의 값은 4배위 알루미늄원자의  $e^2qQ/h$ 의 값 ( $2.43 \sim 4.53 \text{ MHz}$ ) 들에 (Bishop, 1965) 비해 매우 작음을 알 수 있다. 그리고 4배위 알루미늄원자의  $\text{Al}^{27}$  NMR 중앙천이에 의한 공명선의 선폭은 대략  $60 \sim 70 \text{ kHz}$  정도이고 반면에 6배위 알루미늄원자의  $\text{Al}^{27}$  NMR 중앙천이에 의한 공명선의 선폭은 대략  $10 \sim 15 \text{ kHz}$  내에 있고, 4배위 알루미늄원자의  $\text{Al}^{27}$  NMR 위성천이에 의한 공명선들 사이 ( $m = -\frac{3}{2} \leftrightarrow m = -\frac{1}{2}$  과  $m = \frac{1}{2} \leftrightarrow m = \frac{3}{2}$ )의 공명선폭은  $140 \sim 160 \text{ kHz}$  또 다른 위성천이 ( $m = -\frac{5}{2} \leftrightarrow m = -\frac{3}{2}$  과  $m = \frac{3}{2} \leftrightarrow m = \frac{5}{2}$ )의 공명선폭은  $250 \sim 270 \text{ kHz}$  영역에서 일어나므로 유리내에 6배위 알루미늄원자와 4배위 알루미늄원자의 존재 여부를 공명선 모양으로부터 분별할 수 있다.

그러므로 본 실험에서 조사한  $\text{Al}^{27}$  NMR에 대한 데이터와 시료를 제조하는데 사용하는  $\alpha\text{-Al}_2\text{O}_3$ 의  $\text{Al}^{27}$  NMR lineshape를 이용하면, 구조를 규명하고자 하는 물질의  $\text{Al}^{27}$  NMR 공명선과 비교 분석하여 결정고체나 유리질의 내부구조를 정확하게 규명 할 수 있으리라 본다.

## 参考文献

- Abragam, A., 1961, The principles of nuclear magnetism, Clarendon Press, Oxford.
- Babcock, C.L., 1977, Silicate glass technology methods, John Wiley and Sons, New York.
- Baughter, P.J., Kriz, H.M., Taylor, P.C. and Bray, P.J., 1965, NMR Quadrupole lineshape library, Brown university.
- Bishop, S.G., 1965, Ph. D. thesis; NMR Studies of calcium boroaluminate glasses and NMR Studies of diffusion in glassy & crystalline lithium borates, Brown University.
- Bray, P.J., 1967, Magnetic resonance studies of bonding structures and diffusion in crystalline and vitreous solid, Plenum Press, New York.
- Bray, P.J., 1970, NMR Studies of glass and related crystalline solid, Plenum Press, New York.
- 강정우 · 소칠섭 · 김영호 · 정석종 · 조동산 · 박만장, 1981, 산화물유리인  $\text{PbO} \cdot \text{Al}_2\text{O}_3 \cdot \text{B}_2\text{O}_3$ 의 구조와 물리적 성질에 관한 연구, 고려대 이공론집, 제 22집, 81-92.
- 강정우 · 흥석경 · 정석종 · 박만장, 1982,  $\text{SrO-B}_2\text{O}_3-\text{Al}_2\text{O}_3$  유리체의 구조와 물리적 특성, 고려대 이공론집, 제 23집, 201-208.
- Park, M.J., 1970, Ph. D. thesis;  $\text{B}^{11}$ NMR Lineshapes from various polycrystalline compounds and glasses in the strontium borate and manganese borate systems, Brown university.
- Slichter, C.P., 1978, Principles of magnetic resonance, Second revised and expanded Ed, springverlag, New York.
- Song, S.K., khang, J.W., Chung, S.J. and Park, M.J., 1980, Determination of the structure of  $2\text{SrO-B}_2\text{O}_3 \cdot \text{Al}_2\text{O}_3$  glass and crystalline compounds using the  $\text{B}^{11}$ NMR technique, J. Korean physical soc., 14, 59-66.